

Splinefunktion als FOURIER-Reihen

Univ.-Prof. Dr.-Ing. habil. Josef *BETTEN*
 RWTH Aachen University
 Mathematical Models in Materials Science and Continuum Mechanics
 Augustinerbach 4-20
 D-52056 A a c h e n , Germany

<betten@mmw.rwth-aachen.de>

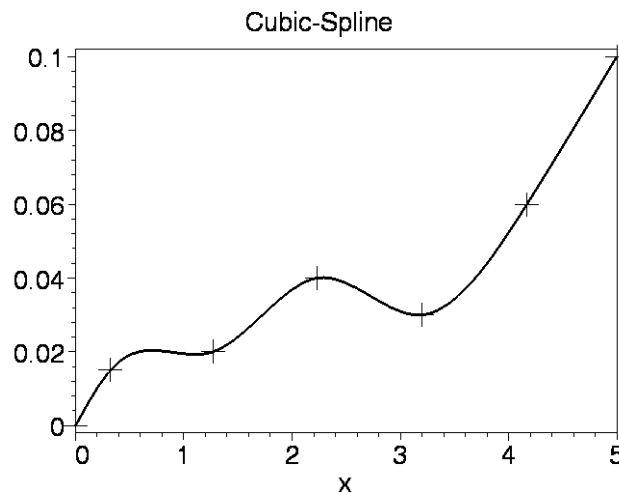
Im Folgenden werden zunächst experimentelle Daten durch eine *kubische Splinefunktion* interpoliert. Diese Interpolation bietet wesentliche Vorteile beispielsweise gegenüber einer *LAGRANGE Interpolation*, die bei einer Vielzahl von Messpunkten zu starken Schwingungen neigt und somit keine geeigneten Ergebnisse liefert. Die stückweise stetige *Splinefunktion* wird als *FOURIER-Reihe* dargestellt. Dabei wird festgestellt, dass sich die *FOURIER-Reihe* mit steigender Anzahl der Reihenglieder ($k = 5, 15, \dots$) immer stärker an die *Splinefunktion* anschmiegt. Für $k = 100$ oder 300 etwa sind kaum Unterschiede erkennbar. Im Grenzfall $k \rightarrow \infty$ fällt die *FOURIER-Reihe* mit der *Splinefunktion* zusammen.

```
> restart: with(CurveFitting):
> DATA:=
  [0,0],[0.32,0.015],[1.27,0.020],[2.23,0.040],[3.2,0.03],
  [4.17,0.06],[5,0.1]:
> Sp(x):=Spline([DATA],x,degree=3):
```

Aus Platzgründen ist die kubische *Splinefunktion* (degree=3) nicht ausgedruckt. Man kann sie jedoch ausdrucken, wenn man den Doppelpunkt am Ende der obigen Zeile durch ein Semikolon ersetzt.

Das folgende Bild zeigt die grafische Darstellung der *Splineapproximation* an die gegebenen Messdaten aus *J. BETTEN, Creep Mechanics*, 3rd Edition, Springer-Verlag Berlin 2008.

```
> alias(th=thickness,co=color):
> p[1]:=plot(Sp(x),x=0..5, axes=boxed,th=3,co=black):
> p[2]:=plot([DATA],x=0..5,th=3, title="Cubic-Spline",
  style=point,symbol=cross,symbolsize=50,co=black):
> plots[display](seq(p[k],k=1..2));
```



Approximation der Splinefunktion durch FOURIER-Reihen

```
> FOURIER_series(x):=  
a[0]/2+sum(a[k]*cos(k*x)+b[k]*sin(k*x),k=1..infinity);
```

$$\text{FOURIER_series}(x) := \frac{1}{2} a_0 + \left(\sum_{k=1}^{\infty} (a_k \cos(kx) + b_k \sin(kx)) \right)$$

```
> a[k]:=(1/Pi)*Int(f(x)*cos(k*x),x=0..2*Pi);
```

$$a_k := \frac{1}{\pi} \int_0^{2\pi} f(x) \cos(kx) dx$$

```
> a[0]:=simplify(subs(k=0,%));
```

$$a_0 := \frac{1}{\pi} \int_0^{2\pi} f(x) dx$$

```
> b[k]:=(1/Pi)*Int(f(x)*sin(k*x),x=0..2*Pi);
```

$$b_k := \frac{1}{\pi} \int_0^{2\pi} f(x) \sin(kx) dx$$

```
> F(x):=Sp(x):
```

```
> A[0]:=value(subs(f(x)=F(x),a[0])); A[0]:=evalf(%,4);
```

$$A_0 := \frac{0.3585942363}{\pi}$$

$$A_0 := 0.1141$$

```
> A[k]:=simplify(value(subs(f(x)=F(x),a[k]))):
```

```
> for i in [seq(k,k=1..5)] do A[i]:=evalf(subs(k=i,A[k]),4) od:
```

```
> for i in [seq(k,k=1..15)] do P[i]:=evalf(subs(k=i,A[k]),4) od:
```

```
> for i in [seq(k,k=1..100)] do R[i]:=evalf(subs(k=i,A[k]),4) od:
```

```
> B[k]:=simplify(value(subs(f(x)=F(x),b[k]))):
```

```
> for i in [seq(k,k=1..5)] do B[i]:=evalf(subs(k=i,B[k]),4) od:
```

```
> for i in [seq(k,k=1..15)] do Q[i]:=evalf(subs(k=i,B[k]),4) od:
```

```
> for i in [seq(k,k=1..100)] do S[i]:=evalf(subs(k=i,B[k]),4) od:
```

Die Koeffizienten A[i]...S[i] sind aus Platzgründen nicht ausgedruckt. Man kann sie jedoch

ausdrucken, wenn man jeweils an den entsprechenden Zeilenenden die Doppelpunkte durch Semikola ersetzt.

```
> Y(x):=evalf(A[0]/2+sum(A[k]*cos(k*x)+B[k]*sin(k*x),k=1..5),4);
```

```
Y(x) := 0.05705 + 0.02272 cos(x) - 0.03769 sin(x) + 0.00004041 cos(2. x)
        - 0.02909 sin(2. x) + 0.003265 cos(3. x) - 0.01347 sin(3. x) - 0.001312 cos(4. x)
        - 0.01155 sin(4. x) - 0.0003622 cos(5. x) - 0.01004 sin(5. x)
```

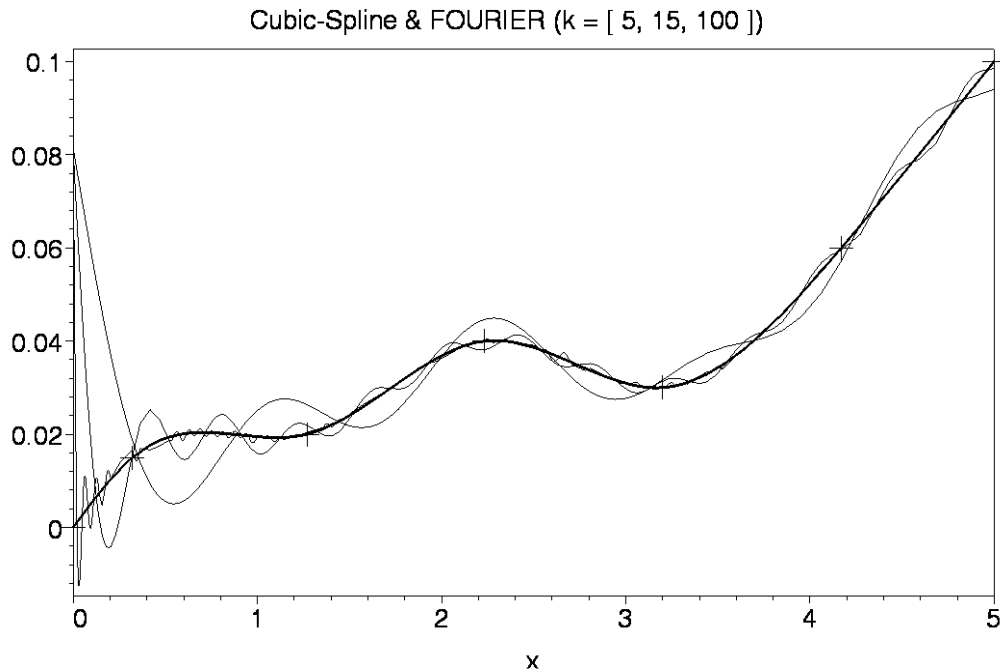
```
> Z(x):=evalf(A[0]/2+sum(P[k]*cos(k*x)+Q[k]*sin(k*x),k=1..15),4);
```

```
Z(x) := -0.0003613 cos(5. x) - 0.001312 cos(4. x) + 0.02262 cos(x) - 0.03770 sin(x)
        - 0.01004 sin(5. x) - 0.004659 sin(11. x) - 0.02911 sin(2. x) - 0.01156 sin(4. x)
        + 0.003298 cos(3. x) - 0.01349 sin(3. x) - 0.003652 sin(14. x) - 0.008424 sin(6. x)
        - 0.004262 sin(12. x) - 0.005625 sin(9. x) - 0.006371 sin(8. x) - 0.0001642 cos(7. x)
        + 0.00002255 cos(15. x) + 0.05705 + 0.00009 cos(2. x) - 0.0000127 cos(9. x)
        - 0.0002385 cos(6. x) - 0.00001695 cos(11. x) - 0.007259 sin(7. x) + 0.0000342 cos(14. x)
        - 0.005112 sin(10. x) - 0.0000556 cos(10. x) - 0.00002594 cos(12. x)
        - 0.00001293 cos(8. x) + 0.00004663 cos(13. x) - 0.003931 sin(13. x)
        - 0.003406 sin(15. x)
```

```
> T(x):=evalf(A[0]/2+sum(R[k]*cos(k*x)+S[k]*sin(k*x),k=1..100),4):
```

Auch diese Formel wurde aus Platzgründen nicht ausgedruckt. Das folgende Bild zeigt die Näherung an die *Splinefunktion* durch *FOURIER-Reihen* mit verschiedenen Gliederanzahlen ($k = [5, 15, 100]$).

```
> alias(th=thickness,co=color):
> p[1]:=plot(Sp(x),x=0..5,axes=boxed,th=3,co=black):
> p[2]:=plot([DATA],x=0..5,th=3,
            style=point,symbol=cross,symbolsize=50,co=black):
> p[3]:=plot({Y(x),Z(x),T(x)},x=0..5,th=1,co=black,
            title="Cubic-Spline & FOURIER (k = [ 5, 15, 100 ])" ):
> plots[display](seq(p[k],k=1..3));
```



Mit zunehmender Anzahl der FOURIER-Glieder (z.B. k = [5, 15, 100]) schmiegt sich die FOURIER-Reihe immer mehr an die Spline-Funktion. Für k = 100 oder auch schon für k = 50 sind kaum noch Unterschiede zur Splinesfunktion zu erkennen. Für k \rightarrow infinity ist die FOURIER-Reihe identisch mit der Spline-Funktion.

Um die Güte der Approximationen auch zahlenmäßig beurteilen zu können, wird die L-zwei Fehlernorm eingeführt.

> `L_zwei[n]:=sqrt((1/5)*Int((F(xi)-y(xi,n))^2,xi=0..5));`

$$L_{zwei_n} := \frac{1}{5} \sqrt{5} \sqrt{\int_0^5 (F(\xi) - y(\xi, n))^2 d\xi}$$

Darin sind F(x) die *Splinesfunktion* und y(x,n) die Formeln Y(x), Z(x), T(x) mit n = [5, 15, 100].

> `y(x,5):=Y(x): y(x,15):=Z(x): y(x,100):=T(x):`

> `L_zwei[k=5]:= evalf(sqrt((1/4.5)*int((F(x)-Y(x))^2,x=0.5..5)),4);`

$$L_{zwei_{k=5}} := 0.005015$$

> `L_zwei[k=15]:=`

`evalf(sqrt((1/4.5)*int((F(x)-Z(x))^2,x=0.5..5)),4);`

$$L_{zwei_{k=15}} := 0.001758$$

> `L_zwei[k=100]:=`

`evalf(sqrt((1/4.5)*int((F(x)-T(x))^2,x=0.5..5)),4);`

$$L_{zwei_{k=100}} := 0.0004581$$

Obige L-zwei Fehlernormen verdeutlichen, dass die *kubische Splinefunktion* zufriedenstellend durch *FOURIER-Reihen* approximiert werden kann.

Obige Genauigkeit wird erzielt durch eine Vielzahl von Gliedern in der FOURIER-Reihe. Diese Anzahl kann jedoch reduziert werden durch Glättung (smoothing), ohne eine Genauigkeit der Approximation einzubüßen. Dazu wird ein *smoothing factor* $g(k, N)$ definiert, der in die FOURIER-Reihe eingebaut wird. Man erhält somit eine geglättete Reihe mit weniger Gliedern:

```
> g(k,N):=N*sin(Pi*k/N)/Pi/k; # smoothing factor
```

$$g(k, N) := \frac{N \sin\left(\frac{\pi k}{N}\right)}{\pi k}$$

```
> G(x,n,N):= A[0]/2+sum(g(kappa,Nu)*(A[kappa]*cos(kappa*x)+
B[kappa]*sin(kappa*x)),kappa=1..n); # smoothing function
```

$$G(x, n, N) := 0.05705000000 + \left(\sum_{\kappa=1}^n g(\kappa, N) (A_{\kappa} \cos(\kappa x) + B_{\kappa} \sin(\kappa x)) \right)$$

```
> # Als Beispiel werde die Reihe Y(x) mit n = 5 und N := n +1
gewählt.
```

```
> g(k,6):=subs(N=6,g(k,N));
```

$$g(k, 6) := \frac{6 \sin\left(\frac{\pi k}{6}\right)}{\pi k}$$

```
> G(x,n=5,N=6):= evalf(subs({n=5,Nu=6,kappa=k,g(kappa,Nu)=g(k,6),
A[kappa]=A[k],B[kappa]=B[k]},G(x,n,N)),4);
```

$$G(x, n = 5, N = 6) := 0.05705 + 0.02164 \cos(x) - 0.03598 \sin(x) + 0.00003256 \cos(2. x) \\ - 0.02407 \sin(2. x) + 0.002074 \cos(3. x) - 0.008578 \sin(3. x) - 0.0005851 \cos(4. x) \\ - 0.004779 \sin(4. x) - 0.00007701 \cos(5. x) - 0.001917 \sin(5. x)$$

```
> alias(th=thickness,co=color):
```

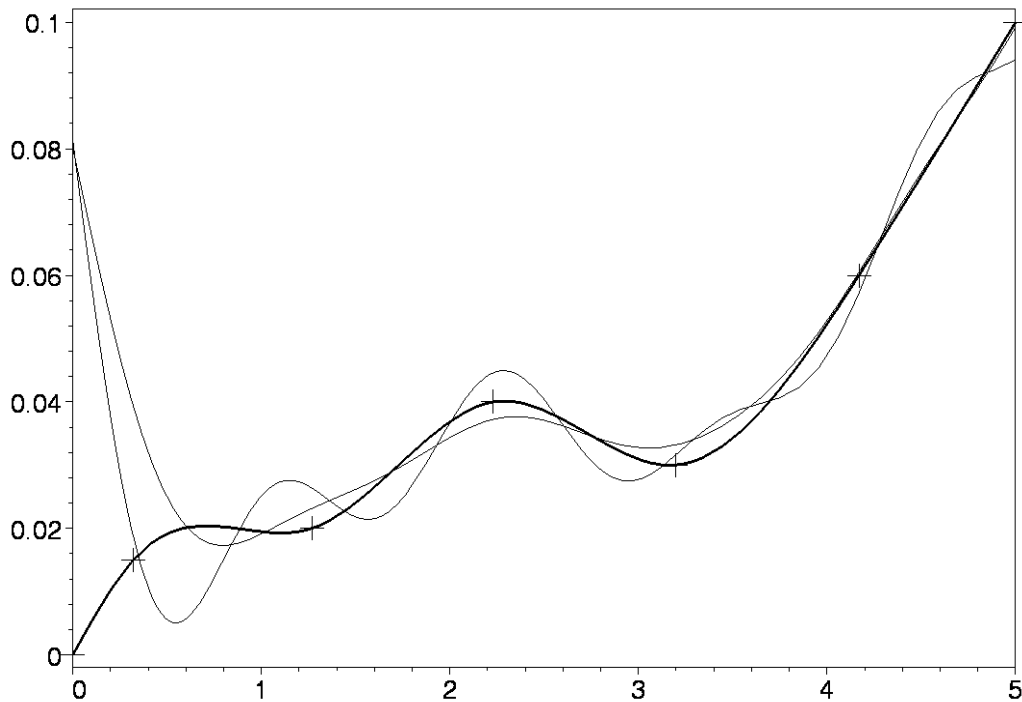
```
> p[1]:=plot(Sp(x),x=0..5,axes=boxed,th=3,co=black):
```

```
> p[2]:=plot([DATA],x=0..5,th=3,
style=point,symbol=cross,symbolsize=50,co=black):
```

```
> p[3]:=plot({Y(x),G(x,n=5,N=6)},x=0..5,th=1,co=black,
title="Approximation with n = 5 and its smoothing");
```

```
> plots[display](seq(p[k],k=1..3));
```

Approximation with $n = 5$ and its smoothing



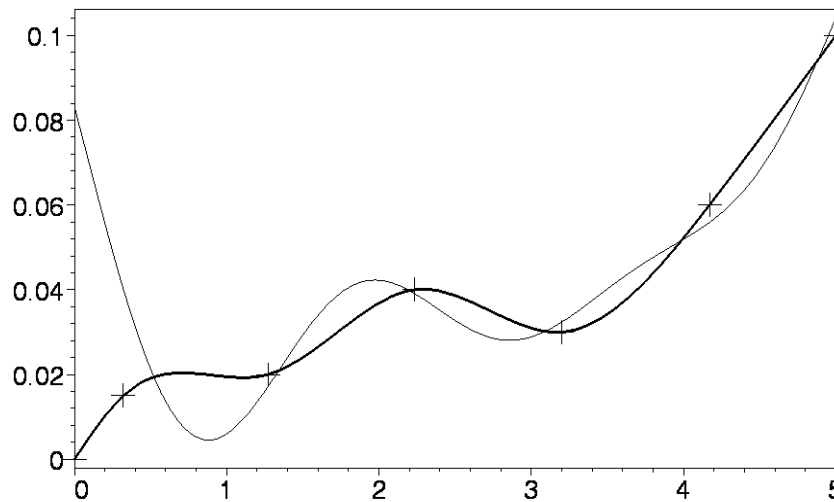
```
> # Fehlernorm der geglätteten Reihe im Bereich x = 0.5..5:
> L_zwei[n=5]:=
  evalf(sqrt((1/4.5)*int((F(x)-G(x,n=5,N=6))^2,x=0.5..5)),4);
  L_zwei_n=5 := 0.001966
```

Die *geglättete FOURIER-Reihe* mit nur $n = 5$ Gliedern liefert eine Genauigkeit (L -zwei = 0.001966), die sich von der Genauigkeit L -zwei = 0.001752 einer Approximation mit $n = 15$ Gliedern nur geringfügig unterscheidet. Die Verbesserung durch Glättung beträgt $(5020 - 1966)/5020 = 0.6084$, also ca. 61%.

Das folgende Beispiel zeigt eine Approximation mit $n = 3$.

```
> for i in [seq(k,k=1..3)] do AL[i]:=evalf(subs(k=i,A[k]),4) od:
> for i in [seq(k,k=1..3)] do BE[i]:=evalf(subs(k=i,B[k]),4) od:
> W(x):=evalf(A[0]/2+sum(AL[k]*cos(k*x)+BE[k]*sin(k*x),k=1..3),4);
W(x) := 0.05705 + 0.02274 cos(x) - 0.03767 sin(x) + 0.00007 cos(2. x) - 0.02911 sin(2. x)
  + 0.003298 cos(3. x) - 0.01349 sin(3. x)
> alias(th=thickness,co=color):
> p[1]:=plot(Sp(x),x=0..5,axes=boxed,th=3,co=black):
> p[2]:=plot([DATA],x=0..5,th=3,
  style=point,symbol=cross,symbolsize=50,co=black):
> p[3]:=plot(W(x),x=0..5,th=1,co=black,
  title="Cubic-Spline & FOURIER (k = 3)":
> plots[display](seq(p[k],k=1..3));
```

Cubic-Spline & FOURIER (k = 3)



```
> L_zwei[k=3]:=evalf(sqrt((1/4.5)*int((F(x)-W(x))^2,x=0.5..5)),4);
```

$$L_{zwei}_{k=3} := 0.006560$$

```
> g(k,N):=N*sin(Pi*k/N)/Pi/k; # smoothing factor
```

$$g(k, N) := \frac{N \sin\left(\frac{\pi k}{N}\right)}{\pi k}$$

```
> G(x,n,N):=A[0]/2+sum(g(kappa,Nu)*(AL[kappa]*cos(kappa*x)+
BE[kappa]*sin(kappa*x)),kappa=1..n); # smoothing function
```

$$G(x, n, N) := 0.05705000000 + \left(\sum_{\kappa=1}^n g(\kappa, N) (AL_{\kappa} \cos(\kappa x) + BE_{\kappa} \sin(\kappa x)) \right)$$

```
> g(k,4):=subs(N=4,g(k,N));
```

$$g(k, 4) := \frac{4 \sin\left(\frac{\pi k}{4}\right)}{\pi k}$$

```
> G(x,n=3,N=4):=evalf(subs({n=3,Nu=4,kappa=k,g(kappa,Nu)=g(k,4),
AL[kappa]=AL[k],BE[kappa]=BE[k]},G(x,n,N)),4);
```

$$G(x, n = 3, N = 4) := 0.05705 + 0.02047 \cos(x) - 0.03391 \sin(x) + 0.00004456 \cos(2. x) \\ - 0.01853 \sin(2. x) + 0.0009897 \cos(3. x) - 0.004048 \sin(3. x)$$

```
> alias(th=thickness,co=color):
```

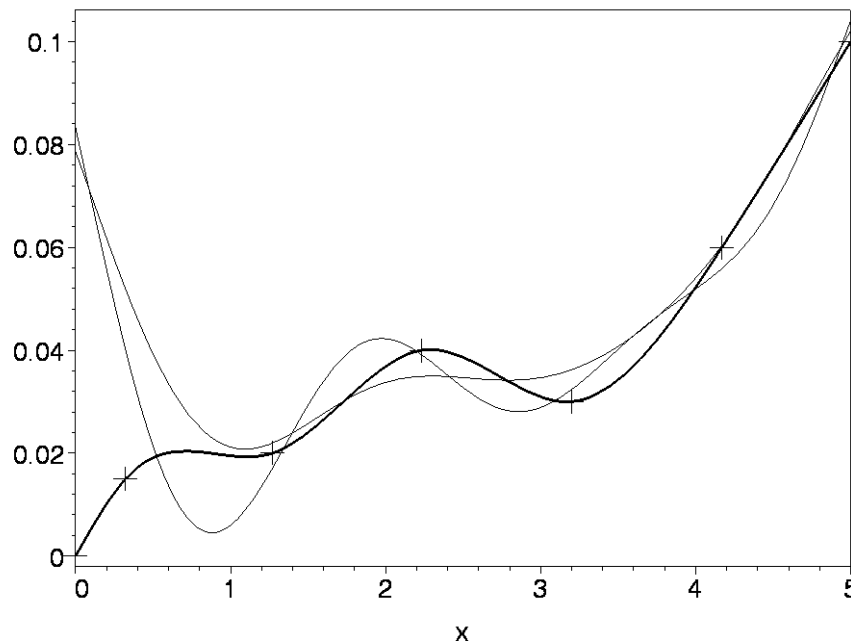
```
> p[1]:=plot(Sp(x),x=0..5,axes=boxed,th=3,co=black):
```

```
> p[2]:=plot([DATA],x=0..5,th=3,
style=point,symbol=cross,symbolsize=50,co=black):
```

```
> p[3]:=plot({W(x),G(x,n=3,N=4)},x=0..5,th=1,co=black,
title="Approximation with n = 3 and its smoothing");
```

```
> plots[display](seq(p[k],k=1..3));
```

Approximation with $n = 3$ and its smoothing



```
> # Fehlernorm der geglätteten Reihe im Bereich x = 0.5..5:
> L_zwei[n=3]:=
  evalf(sqrt((1/4.5)*int((F(x)-G(x,n=3,N=4))^2,x=0.5..5)),4);
  L_zwei_n=3 := 0.004503
> # eine Verbesserung gegenüber der ungeglätteten Version
  (0.006551) gemäß (6551-4506)/6551 = 0.31, also 31%.
>
```

Appendix

Im Folgenden sind einige Ergänzungen zum *Glättungsfaktor* (*smoothingfactor*) für *FOURIER-Reihen* zusammengestellt.

```
> restart:
> g(k,N):=sin(Pi*k/N)/(Pi*k/N);
```

$$g(k, N) := \frac{\sin\left(\frac{\pi k}{N}\right) N}{\pi k}$$

```
> g(k,n+1):=subs(N=n+1,%);
```

$$g(k, n+1) := \frac{\sin\left(\frac{\pi k}{n+1}\right) (n+1)}{\pi k}$$

```
> for i in [seq(j,j=2..5)] do g(k,N=i+1):=subs(n=i,g(k,n+1)) od;
```

$$g(k, N=3) := \frac{3 \sin\left(\frac{\pi k}{3}\right)}{\pi k}$$

$$g(k, N=4) := \frac{4 \sin\left(\frac{\pi k}{4}\right)}{\pi k}$$

$$g(k, N=5) := \frac{5 \sin\left(\frac{\pi k}{5}\right)}{\pi k}$$

$$g(k, N=6) := \frac{6 \sin\left(\frac{\pi k}{6}\right)}{\pi k}$$

> **g(k,N=infinity):=Limit(g(k,N),N=infinity)=
limit(g(k,N),N=infinity);**

$$g(k, N=\infty) := \lim_{N \rightarrow \infty} \frac{\sin\left(\frac{\pi k}{N}\right) N}{\pi k} = 1$$

> **g(n,n+1):=subs(k=n,g(k,n+1));**

$$g(n, n+1) := \frac{\sin\left(\frac{\pi n}{n+1}\right) (n+1)}{\pi n}$$

> **for i in [seq(j,j=2..5)] do g(i,i+1):=
evalf(subs(n=i,g(n,n+1)),4) od;**

$$g(2, 3) := 0.4132$$

$$g(3, 4) := 0.3001$$

$$g(4, 5) := 0.2336$$

$$g(5, 6) := 0.1909$$

> **g(k,k+1):=subs(n=k,g(n,n+1));**

$$g(k, k+1) := \frac{\sin\left(\frac{\pi k}{k+1}\right) (k+1)}{\pi k}$$

> **alias(H=Heaviside,th=thickness,l=linestyle,co=color):**

> **p[1]:=plot(g(k,N=3),k=0..2,th=3,co=black):**

> **p[2]:=plot(g(k,N=4),k=0..3,th=3,co=black):**

> **p[3]:=plot(g(k,N=5),k=0..4,th=3,co=black):**

> **p[4]:=plot(g(k,N=6),k=0..5,th=3,co=black):**

> **p[5]:=plot(1,k=0..5,th=3,co=black):**

> **p[6]:=plot(0.4132*H(k-2),k=1.99..2.01,l=4,co=black):**

> **p[7]:=plot(0.3001*H(k-3),k=2.99..3.01,l=4,co=black):**

> **p[8]:=plot(0.2336*H(k-4),k=3.99..4.01,l=4,co=black):**

> **p[9]:=plot(H(k-5),k=4.99..5.01,co=black,**

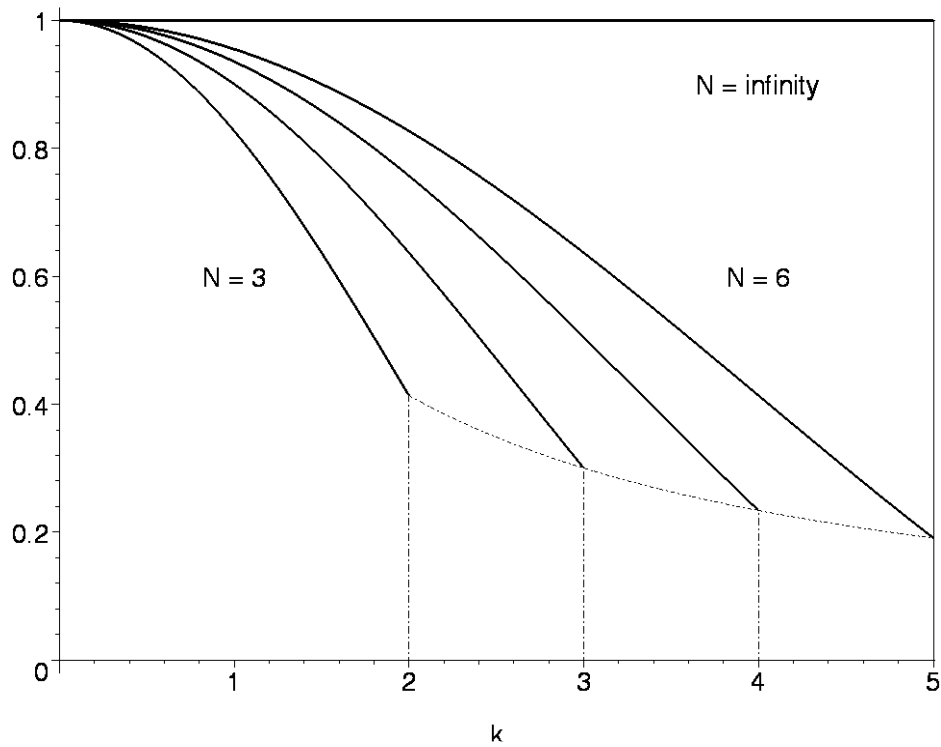
title="Glättungsfaktor g(k,N = n+1) mit n = [2, 3, 4, 5]");

> **p[10]:=plot(g(k,k+1),k=2..5,l=4,co=black):**

> **p[11]:=plots[textplot]({[1,0.6,`N = 3`],[4,0.6,`N = 6`],
[4,0.9,`N = infinity`]}):**

> **plots[display]({seq(p[m],m=1..11)});**

Glättungsfaktor $g(k, N = n+1)$ mit $n = [2, 3, 4, 5]$



>

> $g(k=\text{infinity}, N=\text{infinity}) := \text{Limit}(g(k, k+1), k=\text{infinity}) =$
 $\text{limit}(g(k, k+1), k=\text{infinity}); \quad \# \text{ mit } N=n+1$

$$g(k = \infty, N = \infty) := \lim_{k \rightarrow \infty} \frac{\sin\left(\frac{\pi k}{k+1}\right)(k+1)}{\pi k} = 0$$

> # Im Gegensatz zum obigen Grenzwert

> $g(k, N=\text{infinity}) := \text{Limit}(g(k, N), N=\text{infinity}) =$
 $\text{limit}(g(k, N), N=\text{infinity});$

$$g(k, N = \infty) := \lim_{N \rightarrow \infty} \frac{\sin\left(\frac{\pi k}{N}\right)N}{\pi k} = 1$$

>

> # für beliebige k-Werte, wie man auch im obigen Bild erkennt.

>